

## 論文

高強度 9Cr 耐熱鋼の機械的性質及び  
微細組織に及ぼすWの影響劉 興陽\*・藤田利夫\*<sup>2</sup>

Effects of W on Mechanical Properties and Microstructure of a High-strength 9% Cr Heat Resisting Steel

Kou-you RYUU and Toshio FUJITA

## Synopsis:

The change of mechanical properties and microstructure has been investigated by substituting W for a part of Mo in a 9% chromium heat-resisting steel.

Substituting W for a part of Mo has little effect on tensile and impact properties at room temperature as well as creep rupture strength at under 600°C, but shows beneficial effects on long-term creep rupture strength at above 650°C. This is related to the fact that the substitution reduces the coarsening tendency of precipitates and inhibits the formation of M<sub>6</sub>C which is considered detrimental to elevated temperature strength.

**Key words:** 9% chromium steel; creep rupture strength; microstructure; precipitates; coarsening; inhibit tungsten.

## 1. 緒言

高クロムフェライト系耐熱鋼は優れた常温及び高温特性を有するため、蒸気タービンのロータ及び動翼材としてひらく使われている。火力発電プラントの高温高圧化にともなつて、使用条件が一段と厳しくなり、世界各国で高温強度を改善する研究が進められている。その中で高温強度に及ぼすW添加の影響についての研究がいくつかあるが<sup>1)~5)</sup>、一般に、Wは単独に添加すると、Moと似た挙動を有し、クリープ破断強度を大きく改善する効果があるとされている<sup>1)2)</sup>。しかしMoと複合添加するときには、Wの添加によってクリープ破断強度が著しく改善される報告もあるし<sup>2)~4)</sup>、Wを0.5%程度添加しても長時間のクリープ破断強度にはあまり影響しないという報告もあり<sup>5)</sup>、結果が一致しない。そこで、著者らは高強度9Cr耐熱鋼を用い、Mo当量(Mo+½W)を

ほぼ一定にし、WとMo量を変化させ、機械的性質および組織に及ぼす影響を調べた。

## 2. 実験方法

供試材の化学成分をTable 1に示す。T1鋼のMoの単独添加に対して、T2鋼はMo当量(Mo+½W)をT1鋼とほぼ同じにして、Moの一部をWで置き換えた。T3鋼はMo量をさらに減らして、W量を増やしたものである。3鋼種はとともにESR法で2t溶解したのち、1100°C~950°Cにおいて実ロータをシミュレートした鍛造比で380mmφの丸棒に鍛造してから、熱処理に供した。

熱処理条件はTable 2に示すように、1100°Cで5h溶体化処理したのち、1200mmφのロータを油焼入れするときの中心部の冷却速度に相当する速度、100°C/hで600°Cまで冷却し、その後空冷とした。焼もどしを

Table 1. Chemical compositions (wt %).

	C	Si	Mn	Ni	Cr	Mo	W	V	Nb	N
T1	0.15	0.05	0.45	0.49	8.76	1.78	—	0.14	0.063	0.0330
T2	0.15	0.05	0.40	0.47	8.89	1.34	0.61	0.16	0.059	0.0336
T3	0.15	0.05	0.43	0.48	8.98	0.69	1.47	0.16	0.061	0.0362

昭和60年10月本会講演大会にて発表 昭和61年6月13日受付 (Received June 13, 1986)

\* 東京大学大学院 (Graduate School, The University of Tokyo, 7-3-1 Hongo Bunkyo-ku, Tokyo 113)

\*<sup>2</sup> 東京大学工学部 工博 (Faculty of Engineering, The University of Tokyo)

Table 2. Heat treatment.

1100°C × 5 h	100°C/h	600°C, A.C.
680°C × 20 h, A.C.		

Table 3. Tensile properties at room temperature.

Steel	0.2% P.S. (kgf/mm <sup>2</sup> )	T.S. (kgf/mm <sup>2</sup> )	El. (%)	R.A. (%)
T1	81.2	93.2	18.4	60.1
T2	80.2	92.8	19.2	59.4
T3	78.3	91.4	20.0	61.2

680°Cで20h行ったのち試験片に加工した。クリープ破断試験は平行部直径6mm、標点間距離30mmの試験片を用いて550°C~700°Cで行った。シャルピー衝撃試験、引張試験はおのおのJIS4号標準試験片、クリープ破断試験片を用いておもに20°Cで行った。

薄膜による下部組織電子顕微鏡観察用試料は、熱処理材及びクリープ破断材から約200μm程度の厚さの薄片を切り出し、耐水研磨紙で約100μmの厚さまで機械研磨したのち、3mmφの試験片に打ち抜いて、9%過塩素酸+91%冰酢酸電解溶液中でTwin-jet法により仕上げた。観察は加速電圧200kVの条件で行った。析出物の抽出には電解分離法を用いた。5%塩酸+95%メチルアルコール電解液の中で約30mA/cm<sup>2</sup>の電流密度で、12h電解してから、0.2μmのフィルターで残渣を回収した。このように抽出した残渣をCuのKα線の回折により同定した。

### 3. 実験結果及び考察

#### 3.1 常温引張特性及びシャルピー衝撃韌性

焼入れ焼もどしをしたままの状態での常温強度特性をTable 3に示す。3鋼種ともに90kgf/mm<sup>2</sup>の引張強さと80kgf/mm<sup>2</sup>前後の0.2%耐力を示しており、優れた常温強度を有するが、Moの一部をWに置き換えるても引張特性にあまり変化が見られない。また伸びと絞りがそれぞれ約20%と60%であり、鋼種による差はほとんどない。

一方、焼もどしまま材のシャルピー衝撃エネルギーはFig. 1に示すように、T2鋼の20°Cでの衝撃値が他鋼種より低いが、他の温度においては3鋼種がほぼ同じ値を示す。また、延性脆性遷移温度もだいたい一致しており、10°C前後である。600°Cにおいて3000hまで加熱したときのシャルピー衝撃エネルギーの変化をFig. 2に示す。3鋼種の衝撃エネルギーがともに低下し、3000hまでは鋼種間でほとんど同じ値となる。12Cr-Co-W鋼は12Cr-Co-Mo鋼よりも脆化しやすい

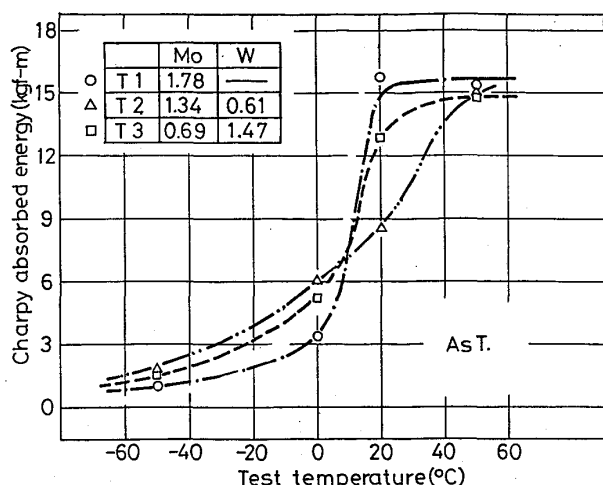


Fig. 1. Charpy transient curves for steels T1, T2 and T3 in the as-tempered condition.

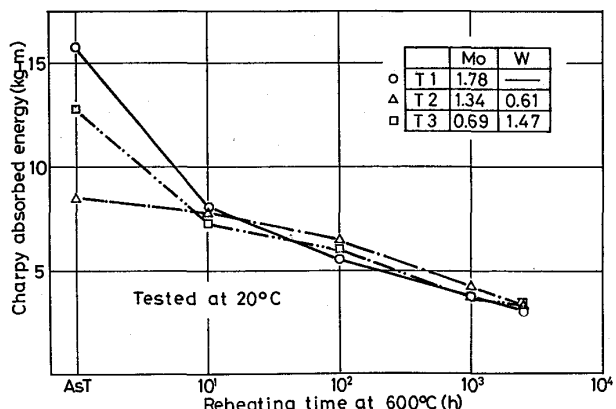


Fig. 2. Change in Charpy absorbed energy with heating time at 600°C.

とされているが<sup>7)</sup>、本系鋼ではこの程度のWを添加してもシャルピー衝撃韌性に悪影響がないことがわかる。

#### 3.2 クリープ破断特性

550°C~700°Cでのクリープ破断曲線をFig. 3に示す。550°C及び600°Cにおいては、3鋼種ともほぼ同じ強度を有して、差が認められない。650°Cと700°Cの短時間側では3鋼種の強度が一致しているが、長時間側ではクリープ破断強度に差があらわれる。すなわち、Moを単独添加したT1鋼ではクリープ破断強度の低下が速いが、Moの一部をWで置き換えると、高温長時間側のクリープ破断強度が改善される。しかも、その改善の効果はW量の増加につれて大きくなる傾向が見られ、Moの単独添加よりも、MoとWを複合添加した方が高温長時間側の強度を維持するには有効と考えられる。

Fig. 3の結果をLARSON-MILLERパラメーター(定数

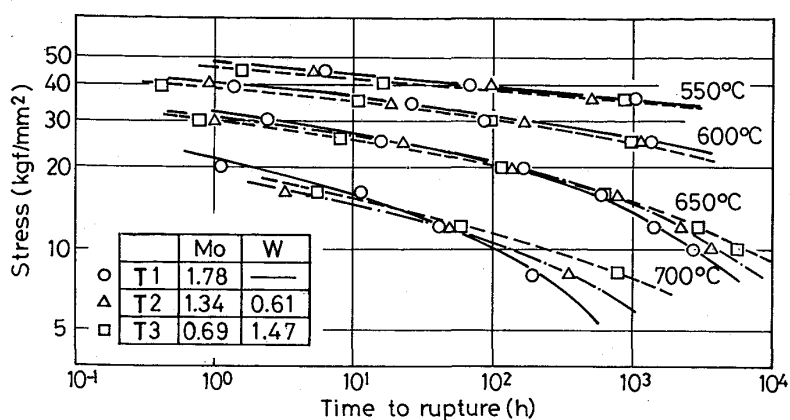


Fig. 3. Creep rupture curves showing the beneficial effect of substituting W for a part of Mo on long-term creep rupture strength at above 650°C.

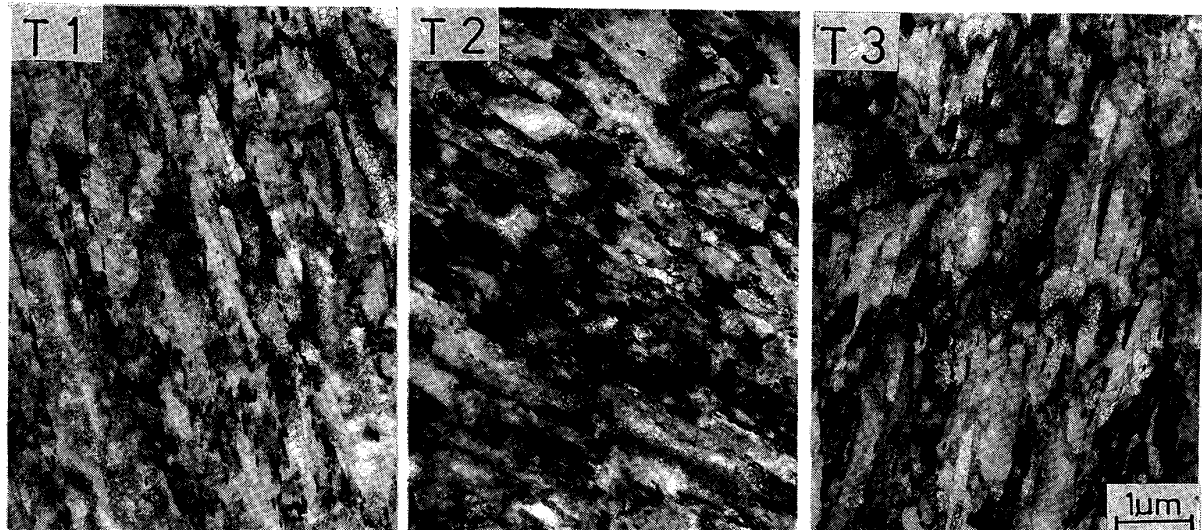


Photo. 1. Transmission electron micrographs for the specimens in as-tempered condition.

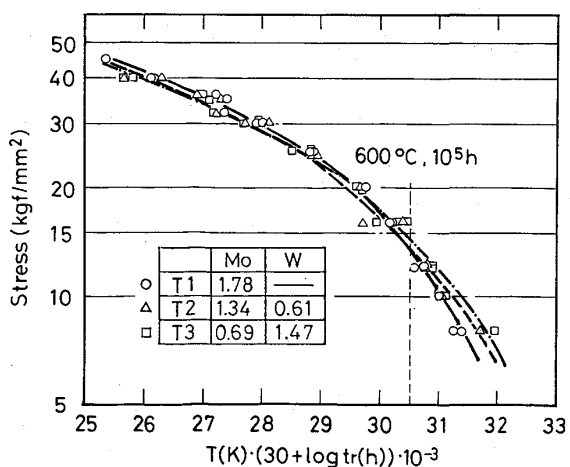


Fig. 4. Master creep rupture curves for T1, T2 and T3.

30) で整理すると Fig. 4 のようになる。パラメーターの値が小さい側では強度の差がみられないが、パラメー

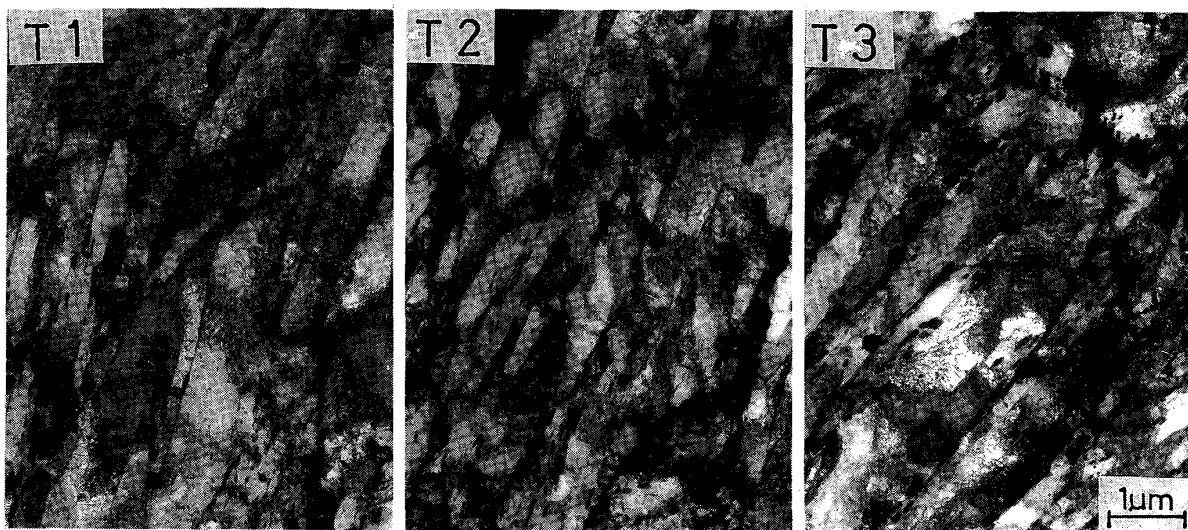
ターの値が大きい側では Mo と W を複合添加した T2, T3 鋼が Mo を単独添加した T1 より強くなっていることがわかる。また、600°C, 10<sup>5</sup> h のクリープ破断強度の外挿値はいずれも 13 kgf/mm<sup>2</sup>~14 kgf/mm<sup>2</sup> であり、本系鋼はかなり良好な高温強度を示す。

### 3・3 微細組織

焼入れをしたままの状態では、3 鋼種ともにマルテンサイト単相であり、δ フェライトは観察されない。なお、旧オーステナイト結晶粒径は 3 鋼種ともおよそ 50 μm で、W の添加による結晶粒の変化はみられなかつた。

焼もどしま材の組織を Photo. 1 に示す。3 鋼種とも典型的な焼もどしラスマルテンサイト組織を示している。ラス幅は約 0.2~0.5 μm であり、ラスの境界に 0.1 μm 程度の板状あるいは球状の析出物が存在している。また、転位密度がかなり高いことがわかる。

クリープ破断材の電顕観察によると、550°C および 600°C において 1000 h ぐらいまでは析出物の大きさや

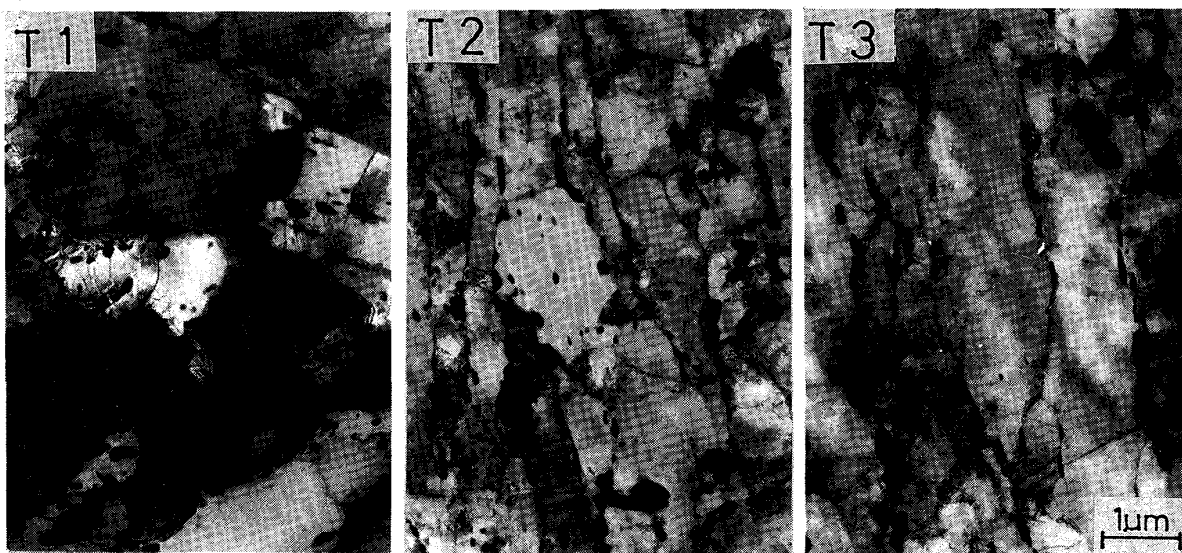


T1 : R. T. = 1 430 h

T2 : R. T. = 1 203 h

T3 : R. T. = 1 007 h

Photo. 2. Transmission electron micrographs for the specimens creep ruptured under  $25 \text{ kgf/mm}^2$  at  $600^\circ\text{C}$ , showing little change with testing time and no difference among the steels.



T1 : R. T. = 1 488 h

T2 : R. T. = 2 496 h

T3 : R. T. = 3 000 h

Photo. 3. Transmission electron micrographs for the specimens creep ruptured under  $12 \text{ kgf/mm}^2$  at  $650^\circ\text{C}$ , showing that the substitution of W for a part of Mo reducing the coarsening tendency of precipitates.

分布に変化がほとんどなかつた。試験時間が長くなるにつれて転位密度が低下すると予想されたが、転位密度に明らかな変化は認められなかつた。Photo. 2 は観察結果の一例で、 $600^\circ\text{C}$ 、 $25 \text{ kgf/mm}^2$  クリープ破断材の透過電顕組織である。この温度範囲では、組織がかなり安定していることがわかる。

しかし、 $650^\circ\text{C}$  以上では試験時間が長くなるにつれて、組織が明瞭に変化する。 $650^\circ\text{C}$  では約  $100 \text{ h}$ 、 $700^\circ\text{C}$  では約  $10 \text{ h}$  頃から析出物の成長が観察された。また、

$650^\circ\text{C}$  でのクリープ破断時間が数千時間のところでは、転位密度のかなりの減少と、亜結晶粒界の形成が観察された。しかし試料により回復の程度が異なり、Mo を単独添加した T1 鋼では多くのラスがすでに崩れているうえ、 $1 \mu\text{m}$  程度までに成長した析出物が多く観察された。一方、Mo と W を複合添加した T2, T3 鋼では、析出物が約  $0.4 \mu\text{m}$  までしか成長しておらず、それより大きなものはほとんど観察されなかつた。また T1 鋼ではマトリックスの回復が進み、転位密度が低下しているが、T2,

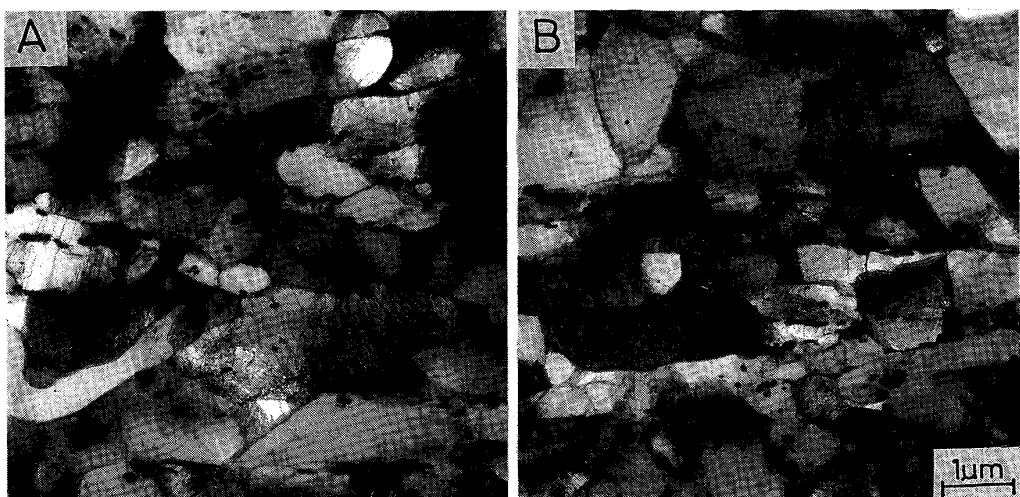
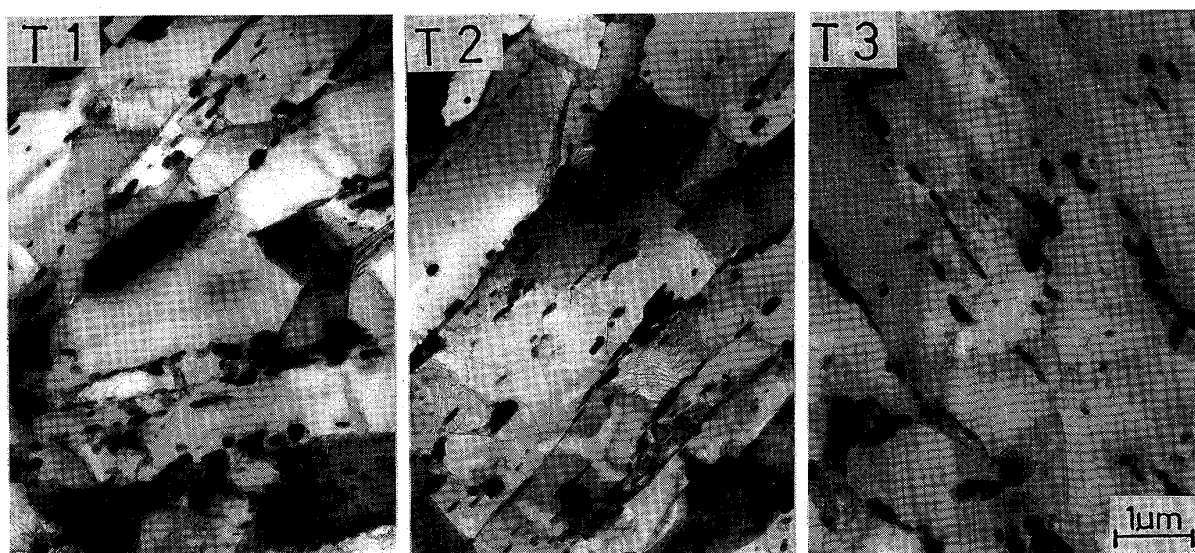
A : 650°C, 10 kgf/mm<sup>2</sup> (R. T.= 5 880 h)B : 650°C, 8 kgf/mm<sup>2</sup> (R. T.= 13 460 h)

Photo. 4. Transmission electron micrographs for the creep ruptured specimens of T3, showing that the substitution of W for a part of Mo stabilizes microstructure upto long-term side.



T1 : R. T.= 200 h

T2 : R. T.= 548 h

T3 : R. T.= 805 h

Photo. 5. Transmission electron micrographs for the specimens creep ruptured under 8 kgf/mm<sup>2</sup> at 700°C.

T3 鋼では、鮮明に残っているラスが多く、組織が比較的安定であつた。これらの様子を Photo. 3 に示す。また、T3 鋼では Photo. 4 に示すようにクリープ破断時間がさらに長くなつても、析出物が顕著に凝集粗大化するようなことが観察されず、Mo の一部を W に置換することが、組織を長時間まで安定させていることが示唆された。700°Cにおいては組織の回復がさらに速くなるが、650°Cと同じような傾向が観察された。すなわち、700°C、8 kgf/mm<sup>2</sup>でのクリープ破断材（破断時間が数百時間）の組織を比較すると、Photo. 5 に示すように、

T1 鋼における析出物の成長がもつとも速く、数百時間のところですでに 1 μm までに成長したものが現れたが、T2 及び T3 鋼では 0.5 μm より大きな析出物が認められない。このことは Mo の一部を W で置換することによって析出物が成長しにくくなり、凝集粗大化する傾向がある程度抑えられることを示唆している。クリープ破断強度の変化と比較してみると、T2 と T3 鋼の高温長時間側のクリープ破断強度の改善に W の添加による析出物の成長の抑制が重要な因子として働いていることが考えられる。

Table 4. Identified precipitates.

Steels	As tempered	600°C 30 kg/mm <sup>2</sup>	600°C 25 kg/mm <sup>2</sup>	650°C 20 kg/mm <sup>2</sup>	650°C 12 kg/mm <sup>2</sup>	650°C 10 kg/mm <sup>2</sup>	700°C 8 kg/mm <sup>2</sup>
T1	M <sub>23</sub> C <sub>6</sub> NbC	M <sub>23</sub> C <sub>6</sub> NbC (87.3)	M <sub>23</sub> C <sub>6</sub> NbC (1430)	M <sub>23</sub> C <sub>6</sub> M <sub>6</sub> C NbC (173)	M <sub>23</sub> C <sub>6</sub> M <sub>6</sub> C NbC (1488)	M <sub>23</sub> C <sub>6</sub> M <sub>6</sub> C NbC (2832)	M <sub>23</sub> C <sub>6</sub> NbC (200)
T2	M <sub>23</sub> C <sub>6</sub> NbC	M <sub>23</sub> C <sub>6</sub> NbC (164)	M <sub>23</sub> C <sub>6</sub> NbC (1203)	M <sub>23</sub> C <sub>6</sub> NbC (153)	M <sub>23</sub> C <sub>6</sub> M <sub>6</sub> C NbC Laves (2232)	M <sub>23</sub> C <sub>6</sub> M <sub>6</sub> C Laves NbC (3790)	M <sub>23</sub> C <sub>6</sub> NbC (548)
T3	M <sub>23</sub> C <sub>6</sub> NbC	M <sub>23</sub> C <sub>6</sub> NbC (96.7)	M <sub>23</sub> C <sub>6</sub> NbC (1007)	M <sub>23</sub> C <sub>6</sub> NbC (122)	M <sub>23</sub> C <sub>6</sub> Laves NbC (3000)	M <sub>23</sub> C <sub>6</sub> Laves NbC (5880)	M <sub>23</sub> C <sub>6</sub> NbC (805)

( ) : Rupture time (h)

## 3・4 抽出残渣

電解抽出残渣の同定結果を Table 4 に示す。一般に、高クロム系耐熱鋼においては Mo あるいは W の一部はマトリックスに固溶し、一部は M<sub>2</sub>X<sup>6,7)</sup> または M<sub>23</sub>C<sub>6</sub> と M<sub>6</sub>C のような炭化物の中に入つて、これらの炭化物を安定化させるとされている<sup>1)~5)7)</sup>。また、Mo あるいは W は添加量が多い場合、長時間側では Laves 相として析出する<sup>2)6)8)</sup>。本研究において短時間側では 3 鋼種とも主炭化物 M<sub>23</sub>C<sub>6</sub> の他には、少量の NbC も析出しているだけで、他の析出物が同定されなかつた。これに対して、650°C の長時間側では W 添加による析出挙動の違いが認められた。すなわち主炭化物 M<sub>23</sub>C<sub>6</sub> と少量の NbC 以外に T1 鋼には M<sub>6</sub>C、T2 鋼には M<sub>6</sub>C および Laves 相 (Fe<sub>2</sub>(Mo, W))、T3 鋼には Laves 相が析出する。もう少し詳しく述べると、T1 鋼では 650°C で M<sub>6</sub>C の生成が最も速く、650°C、20 kgf/mm<sup>2</sup> 破断材(破断時間が約 100 h)には M<sub>6</sub>C がすでに存在するが、同じ試験条件で破断した T2 および T3 鋼では M<sub>6</sub>C は同定されなかつた。650°C、12 kgf/mm<sup>2</sup> 破断材における各析出物の回折ピークの相対高さを Fig. 5 に示す。Mo を単独添加した T1 鋼は M<sub>6</sub>C の主ピークが M<sub>23</sub>C<sub>6</sub> のそれと同等の程度であり、M<sub>6</sub>C の量がかなり多いことを示している。一方、Mo の一部を W で置き換えた T2 鋼では、M<sub>6</sub>C の主ピークの高さが M<sub>23</sub>C<sub>6</sub> のそれの約 1/4 に低くなつてると同時に、少量の Laves が析出している。さらに W を入れた T3 鋼では M<sub>6</sub>C がほとんど同定されず、Laves 相の量がさらに増えている。KOUTSKY<sup>8)</sup> らも Mo 単独添加のとき、M<sub>6</sub>C が析出しやすいが、Mo の一部を W で置き換えると、M<sub>6</sub>C の生成傾向がある程度抑えられることを観察している。

Mo と W は固溶効果と析出効果を持つているとされているが固溶効果がマトリックスに固溶する Mo 及び W 量、析出効果が析出物の種類、量、大きさ及び分布によ

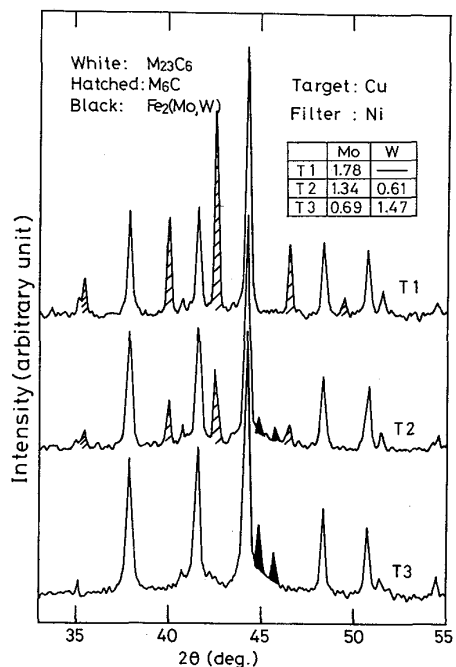


Fig. 5. X-ray diffraction chart for the specimens creep ruptured at 650°C, 12 kgf/mm<sup>2</sup>, showing that the substitution of W for a part of Mo inhibits the precipitation of M<sub>6</sub>C but promotes the formation of Laves phase.

ることは当然である。析出物について見ると、本研究では、M<sub>2</sub>X 型の析出物が同定されず、析出した Mo と W が M<sub>23</sub>C<sub>6</sub>、M<sub>6</sub>C 及び Laves 相に存在すると考えられる。高温強度における M<sub>23</sub>C<sub>6</sub> と M<sub>6</sub>C の役割を比較するため、Fe-Mo-C 系における M<sub>23</sub>C<sub>6</sub> と M<sub>6</sub>C の中に含まれる Mo 量を計算して Table 5 に示す。M<sub>23</sub>C<sub>6</sub> の分子式を Fe<sub>21</sub>Mo<sub>2</sub>C<sub>6</sub> と考えると、この炭化物中に含まれる理論的な Mo 量は 13.9 wt% となる。KUO<sup>9)</sup> と CADEK<sup>10)</sup> は 12 Cr 系耐熱鋼において M<sub>23</sub>C<sub>6</sub> 中の Mo 量を測定し、2 ~ 11 wt% という値を得ている。一方、M<sub>6</sub>C の分子式を

Table 5. Comparison of Mo content between  $M_{23}C_6$  and  $M_6C$ .

Carbide	$Fe_{21}Mo_2C_6$	$Fe_3Mo_3C$ , $Fe_2Mo_4C$
Theoretical content of Mo (wt%)	13.9	44.9~61.5
Theoretical content of Mo (at%)	6.9	42.9~57.1

$Fe_3Mo_3C$  または  $Fe_2Mo_4C$  と考えると、 $M_6C$  中の理論的な Mo 含有量が 44.9 wt% ( $Fe_3Mo_3C$  に相当) ~ 61.5 wt% ( $Fe_2Mo_4C$  に相当) にも達する。すなわち、同じ重量パーセントの炭化物が析出しても  $M_6C$  の中に含まれられる Mo 量が  $M_{23}C_6$  より圧倒的に多い。このことは、Mo の添加量が一定の場合、 $M_{23}C_6$  と  $M_6C$  の析出量が同じなら、 $M_6C$  が析出したほうがマトリックスに固溶する Mo 量が少なくなり、固溶強化への効果が小さくなることが予想される。一方、Mo の添加量が一定で、固溶する Mo 量が同じであれば、 $M_6C$  の析出量が  $M_{23}C_6$  より少なくなる。 $M_6C$  は形態が  $M_{23}C_6$  と同じで、粗大化する速度が  $M_{23}C_6$  と同等であるかまたはそれより速いかということから、 $M_6C$  の析出効果のほうが低いと推察される。それ故、高温強度に寄与する固溶強化と析出強化を維持するには  $M_{23}C_6$  を安定させ、 $M_6C$  の生成を抑えることが一つ有効な手法であると思われる。これまでに問題を簡略化するために、Fe-Mo-C 系鋼の  $M_{23}C_6$  と  $M_6C$  の組成を比較したが、一般的には、 $M_{23}C_6$  と  $M_6C$  の中の Fe の一部は Cr 及び V に置換され、また、Mo の一部は W に置換される。しかし、この場合でも、 $M_{23}C_6$  及び  $M_6C$  の中に含まれる Mo あるいは Mo+W の原子パーセントは変わらず、同じように、高温強度を維持するには  $M_{23}C_6$  を安定化させ、 $M_6C$  の生成を抑えることが有効であるという結論が得られる。本研究では Mo の一部を W で置き換えることにより高温長時間側のクリープ破断強度が上昇することが明らかにされたが、以上の検討から、 $M_6C$  の生成傾向が W 添加によって低減されることがその重要な原因であると推察される。

W を添加した T2, T3 鋼に Laves 相も析出したがその影響がはつきりされていない。KOUTSKY ら<sup>2)</sup> は Laves 相が析出すると、固溶効果が低下するよりもむしろ析出効果の増加が大きく、クリープ破断強度にプラスの効果があるとしている。一方、小松ら<sup>11)</sup> は Laves 相が  $M_{23}C_6$  より粗大化しやすいため、クリープ破断強度に悪影響を及ぼすとしている。本研究においては、X線回折で Laves 相が同定された T2, T3 鋼では粗大化した

析出物が観察されておらず、Laves 相も粗大化していないと考えることができる。従つて、その析出はむしろクリープ破断強度に有効に働いていると考えるが、今後さらに研究を行う必要があると思われる。

#### 4. 結 言

9 Cr 耐熱鋼の常温及び高温の機械的性質および組織に及ぼす W 添加の影響を調べて、次のような結果を得た。

(1) 9Cr 耐熱鋼では Mo の一部を W で置換しても、常温引張特性及びシャルピー衝撃靭性にあまり影響しない。

(2) Mo の一部を W で置き換えると、低温及び高温短時間側ではクリープ破断強度が変わらないが、650°C 及び 700°C の長時間側ではクリープ破断強度が上昇する。W の添加は高温長時間側の強度を改善するには有効であると考えられる。

(3) 低温及び高温の短時間側では、Mo を単独添加した場合と Mo と W を複合添加した場合、微細組織にほとんど差がないが、高温長時間側では、後者の方が析出物の成長がおそく、組織が比較的安定である。これは W 添加鋼の強度を上昇させる一因であると考えられる。

(4) Mo を単独添加した鋼に比べ W と Mo を複合添加した鋼は、 $M_6C$  の生成傾向が低減される。これは Mo あるいは W の固溶効果及び微細析出効果が長時間までに維持されることにつながり、高温長時間のクリープ破断強度の上昇のもうひとつの原因であると考えられる。

#### 文 献

- 1) 高橋紀雄、藤田利夫: 鉄と鋼, 60 (1974), p. 1506
- 2) J. KOUTSKY and J. JEZEK: J. Iron Steel Inst., 203 (1965), p. 707
- 3) 藤田利夫、山田武海、高橋紀雄: 鉄と鋼, 61 (1975), p. 357
- 4) L. EGNELL and N. G. PERSSON: Ferritic steels for fast reactor steam generators (BNES, London) (1978), p. 212
- 5) G. OAKES, J. ORR and P. W. TAYLOR: Ferritic steels for fast reactor steam generators (BNES, London) (1978), p. 222
- 6) J. Z. BRIGGS and T. D. PARKER: The Super 12% Cr Steels (Climax Molybdenum Company, Michigan) (1982)
- 7) K. J. IRVINE, D. J. CROWE and F. B. PICKERING: J. Iron Steel Inst., 195 (1960), p. 386
- 8) J. KOUTSKY and J. JEZEK: J. Iron Steel Inst., 200 (1962), p. 938
- 9) K. KOU: J. Iron Steel Inst., 173 (1953), p. 363
- 10) J. CADEK: Rep. Met. Inst. Prague (1962), p. 2
- 11) 小松周一、中橋昌子、中村新一、中山義夫: 学振 123 委研究報告, 21 (1980), p. 1